



## مهندسی مکانیک جامدات

<http://jsme.iaukhsh.ac.ir>

# تحلیل کمانش نامتقارن ورق دایروی هدفمند با خواص وابسته به دما واقع بر بستر الاستیک

علیرضا نداد اسکوئی<sup>۱\*</sup>، هادی محمدی هویه<sup>۲</sup>، وحید علایی<sup>۳</sup>، خداداد واحدی<sup>۴</sup>

\*نویسنده مسئول: anadaf@ihu.ac.ir

## واژه‌های کلیدی

ورق دایروی، کمانش نامتقارن، مواد هدفمند، خواص وابسته به دما، بستر الاستیک.

تاریخ ارسال:	۹۴/۱۱/۰۲
تاریخ بازنگری:	۹۵/۰۵/۲۳
تاریخ پذیرش:	۹۵/۰۷/۱۶

## چکیده

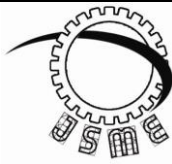
در این مقاله، کمانش نامتقارن ورق دایروی ساخته شده از مواد هدفمند، با خواص وابسته به دما که تحت تاثیر فشار شعاعی و دمای یکنواخت قرار دارد، مورد بررسی قرار گرفته است. این ورق بر روی محیط الاستیک تعییه شده است که این محیط توسط دو مدل وینکلر و پاسترناک شیوه سازی شده اند. کلیه خواص مکانیکی ماده، بصورت غیرخطی با دما تغییر می‌نمایند. معادله تعادل سیستم با استفاده از نظریه کلاسیک، فرضیه غیرخطی فون-کارمن و اصل تغییر مکان مجازی دست آمده است. وجود ساخته‌های کمانش تخمین زده شده است و معادلات پایداری توسط معیار تعادل در مجاورت به دست آمده است. در ادامه معادلات پایداری توسط پارامترهای بدون بعد بی بعدسازی شده و توسط یک روش تحلیلی حل گردیده اند. تأثیر پارامترهایی از جمله ضرایب بستر الاستیک بر بار بحرانی کمانش ورق دایروی هدفمند، نسبت ضخامت ورق به شعاع خارجی و شاخص تابع توانی مورد مطالعه قرار گرفته است. نتایج حاصل از پژوهش حاضر با نتایج سایر مراجع مورد راستی آزمایی قرار گرفته و مطابقت پین آنها رضایت‌بخش است. نتایج این پژوهش نشان می‌دهند که افزایش دما باعث کاهش مدول یانگ و سفتی ماده هدفمند و در نتیجه کاهش بار بحرانی کمانش می‌شود. همچنین مشاهده می‌شود که افزایش ضرایب بستر الاستیک وینکلر و پاسترناک باعث افزایش بار بحرانی کمانش می‌شود.

۱- دانشیار، دانشکده مکانیک، دانشگاه جامع امام حسین (ع)، تهران

۲- مدرس، گروه مکانیک، دانشگاه ایوانکی، سمنان

۳- کارشناس ارشد، دانشکده مکانیک، دانشگاه جامع امام حسین (ع)، تهران

۴- دانشیار، دانشکده مکانیک، دانشگاه جامع امام حسین (ع)، تهران



## **Asymmetric Buckling Analysis of the Circular FGM Plates with Temperature-Dependent Properties under Elastic Medium**

Alireza Nadaf Oskuee<sup>1,\*</sup>, Hadi Mohammadi Hooyeh<sup>2</sup>, Vahid Alaei<sup>3</sup>, Khodadad Vahedi<sup>4</sup>

\* Corresponding Author: anadaf@ihu.ac.ir

### **Abstract:**

In this paper, Asymmetric buckling analysis of functionally graded (FG) Circular plates with temperature dependent property that subjected to the uniform radial compression and thermal loading is investigated. This plate is on elastic medium that simulated by Winkler and Pasternak foundation. Mechanical properties of the plate are assumed to vary nonlinearly by temperature change. The equilibrium equations are obtained using the classical plate theory (CPT), Von Karman geometric nonlinearity and virtual displacement method. Existence of bifurcation buckling is examined and stability equations are obtained by means of the adjacent equilibrium criterion. The effects of elastic foundation coefficient, thickness to radius, power law index, and temperature-dependency of the material properties on critical buckling load of FG plates are presented. The results of the present work have been compared with the results of other investigator and the results of the comparison are very good. It is found that by increasing temperature, critical buckling load decreases. It is also concluded that the critical buckling load of (FG) Circular plates increases with an increase in the Winkler and Pasternak constants of elastic foundation.

### **Key words:**

Circular plates,  
Asymmetric buckling,  
Functionally graded materials,  
Temperature-dependency,  
Elastic foundation.

1- Associate Professor, Department of Mechanical Engineering, Imam Hossein University, Tehran, Iran.

2- Lecturer, Department of Mechanical Engineering, Ivanki University, Semnan, Iran.

3- MSc Student, Department of Mechanical Engineering, Imam Hossein University, Tehran, Iran.

4- Associate Professor, Department of Mechanical Engineering, Imam Hossein University, Tehran, Iran.

است. در این تحقیق کمانش یک صفحه دایره‌ای با تکیه گاه گیردار تحت بار یکنواخت شعاعی بررسی شده است. تیموشنکو و گیر [۳] مسئله پایداری انواع سازه‌های مهندسی شامل ستون‌ها، قاب‌ها، تیرهای خمیده، صفحات و پوسته‌ها را مورد بررسی قرار داده‌اند. پس از آن المرث و براوش [۴]، تحلیل جامعی از مسئله‌ی کمانش ستون‌ها، صفحات، پوسته‌ها و روش‌های مختلف برای فرمول‌بندی معادلات تعادل غیرخطی و پایداری را مورد بررسی قرار داده‌اند.

یاماکی [۵] کمانش صفحات حلقوی با بارگذاری روی لبهٔ داخلی و خارجی را مورد بررسی قرار داده و در نتایج خود نشان داده که کمانش در این حالت لزوماً در مد اول اتفاق نمی‌افتد. ردی و خدیر [۶] تحلیل کمانش و ارتعاشات آزاد صفحات مستطیلی مرکب چندلایه را با استفاده از نظریه‌ی کلاسیک<sup>۹</sup> و مرتبه اول<sup>۱۰</sup> و مرتبه‌ی سوم برشی<sup>۱۱</sup> در شرایط مرزی مختلف بررسی کردند. نجفی‌زاده و اسلامی [۸،۷]، کمانش ورق مدور نازک در معرض بارهای مکانیکی و حرارتی را مورد بررسی قرار داده‌اند. آنها در مطالعاتشان فقط به محاسبه کمانش متقارن<sup>۱۲</sup> پرداخته و با استفاده از قوانین کیرشهف برای ورق‌های نازک، معادله تعادل و پایداری را به دست آورده‌اند وانگ [۹] کمانش ورق مدور روی بستر الاستیک را به طور تحلیلی مورد بررسی قرار داده است. در تحلیل ایشان امکان وقوع مدهای کمانش نامتقارن وجود دارد. شریعت و اسلامی [۱۰] به بررسی تحلیلی کمانش ورق مستطیلی هدفمند، تحت اثر بارهای حرارتی و مکانیکی پرداختند. به‌طوری‌که ورق به طور جداگانه تحت تأثیر سه نوع بارگذاری مکانیکی و دو نوع بارگذاری حرارتی قرار گرفته است و معادله تعادل با استفاده از تئوری مرتبه‌ی سوم برشی به دست آمده است. نجفی‌زاده و حیدری [۱۱،۱۲] به بررسی بارهای کمانش حرارتی و مکانیکی ورق نازک مدور هدفمند بر پایه

## ۱- مقدمه

مواد هدفمند<sup>۹</sup> دسته‌ای از مواد کامپوزیتی هستند که خواص آنها به صورت پیوسته و تدریجی تغییر می‌کنند. این مواد در خیلی از کاربردهای صنعتی شامل راکتورهای هسته‌ای (مواد تشکیل‌دهنده دیواره داخلی راکتور)، صنایع شیمیایی (غشا و کاتالیست‌ها)، استفاده در صنایع پزشکی (کاشت دندان مصنوعی، استخوان‌های مصنوعی)، صنایع الکترونیک و کامپیوتر (ساخت قطعات و مدارها برای تحمل دمای بالا) و سایر فناوری‌های نوین مانند موتورهای سرامیکی مورد استفاده قرار می‌گیرند. به دلیل کاربردهای فراوان مواد هدفمند، محققان علاقه‌مند به بررسی و تحقیق در مورد مشخصه‌های دینامیکی و استاتیکی این مواد می‌باشند. مواد هدفمند (FGM) اولین بار توسط گروهی از دانشمندان در ژاپن در سال ۱۹۸۴ به عنوان مواد تحمل کننده دما معرفی شده‌اند [۱]. ماده هدفمند ماده‌ای است که از دو یا چند جزء تشکیل شده و خواص آن به طور پیوسته با مکان تغییر می‌کند. این خاصیت با تغییر تدریجی ترکیب و درصد حجمی اجزای تشکیل دهنده ماده در طی ساخت آن به وجود می‌آید. لذا این مواد در زمرة مواد ناهمگن<sup>۷</sup> هستند. از مزایای استفاده از این مواد این است که به علت تغییرات تدریجی در ساختار و خصوصیات ماده، مشکلات موجود در فصل مشترک دو ماده متفاوت حذف شده و تنش‌های حرارتی، تنش‌های پسماند و عامل تمرکز تنش، نسبت به مواد مرکب لایه‌ای<sup>۸</sup> بسیار کاهش می‌یابد. به همین خاطر در سال‌های اخیر به دلیل قابلیت‌های فراوان مواد هدفمند، استفاده از این مواد در صنایع پیشرفته بسیار گسترش یافته است.

تحلیل پایداری و مطالعه رفتار کمانش صفحات، همواره به عنوان یکی از مهمترین موضوعات در تحلیل سازه‌ها مورد توجه بوده است. اولین حل مسئله‌ی پایداری برای صفحات توسط برایان [۲] در سال ۱۸۹۱ انجام شده

9- Classic Plate Theory

10- First Order Shear Deformation Theory

11- Third Order Shear Deformation Theory

12- Symmetric Buckling

4- Functionally Graded Materials

7- Non-Homogeneous

8- Composite

محاسبه شده است. خواص وابسته به دما است و با تغییر دما، خواص ترمومکانیکی ورق هدفمند نیز تغییر می‌کند.

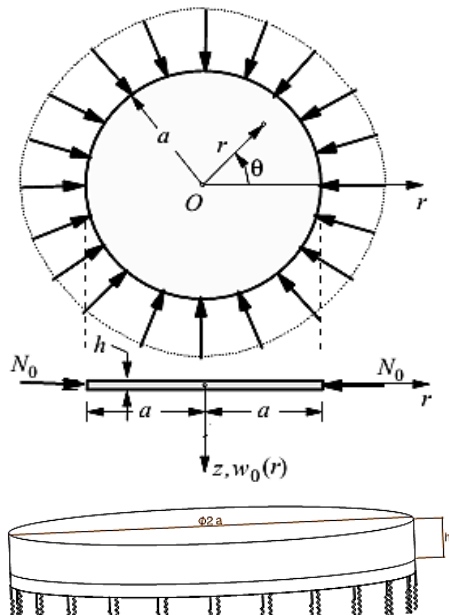
### ۲- هندسه ورق و خواص وابسته به دما

یک ورق نازک دایرویی هدفمند به ضخامت  $h$ ، شعاع  $a$  و در مختصات قطبی  $(r, \theta, z)$  در نظر بگیرید که روی بستر الاستیک قرار گرفته است (شکل ۱). ورق تحت فشار شعاعی یکنواخت  $N$  و حرارت یکنواخت می‌باشد.

زمانی که خواص مواد در جهت ضخامت متغیر باشد، با استفاده از رابطه تابع توانی، توزیع کسر حجمی سرامیک  $V_c$  برابر است با [۱۱]:

$$V_c = \left( \frac{1}{2} + \frac{z}{h} \right)^k, \quad V_m = 1 - V_c \quad (1)$$

که  $h$  ضخامت ورق و  $z$  مختصات ضخامت اندازه‌گیری شده از صفحه میانی ورق می‌باشد.  $V_m$  و  $k$  به ترتیب بیانگر توزیع کسر حجمی فلز و شاخص تابع توانی می‌باشد. اگر در رابطه (۱) مقدار  $k$  برابر صفر باشد بیان گر سرامیک خالص ( $V_c=1$ ) و اگر  $k$  به سمت بی‌نهایت میل کند نشان دهنده ورق فلزی خالص است ( $V_c=0$ ).



شکل (۱) ورق نازک دایرویی هدفمند روی بستر الاستیک تحت فشار شعاعی یکنواخت و حرارت یکنواخت

### ۱- خواص وابسته به دما

معمولًاً مواد هدفمند در محیط‌هایی با دمای بالا به کار می‌رود که در این صورت تغییرات قابل توجهی در خواص

نظریه‌ی غیرخطی فون-کارمن و جابجایی مرتبه سوم برشی پرداخته‌اند. شریعت و همکاران [۱۳] کمانش ورق‌های ناقص مواد هدفمند را با استفاده از تئوری کلاسیک مورد بررسی قرار داده‌اند. ماتسوناگا [۱۴] کمانش حرارتی ورق مستطیلی هدفمند بر پایه نظریه‌ی جابجایی مرتبه بالاتر را مورد مطالعه قرار داده‌است. کلاسنز و همکاران [۱۵] کمانش ورق دایره‌ای تحت بار حرارتی یکنواخت متقارن با استفاده از روش ریلی-ریتز را مورد مطالعه قرار داده‌اند. غیاثیان و اسلامی [۱۶] به بررسی تحلیلی کمانش حرارتی ورق حلقوی-دایروی مواد هدفمند ضخیم پرداختند. آنها در مطالعه خود از تئوری مرتبه اول برشی استفاده کردند و در مورد نقطه دوگانگی ورق حلقوی ضخیم بحث کردند؛ و تأثیر پارامترهایی نظیر نسبت ضخامت ورق به شعاع داخلی، نسبت شعاع داخلی به خارجی و محیط حرارتی مختلف بر کمانش حرارتی ورق هدفمند را مورد مطالعه قرار داده‌اند. جواهری و اسلامی [۱۷] در سال ۲۰۰۲ به بررسی کمانش حرارتی یک ورق مستطیلی ساخته شده از مواد هدفمند پرداختند. در این تحقیق معادلات تعادل ورق بر اساس تئوری کلاسیک ورق‌های مستطیلی به دست آمده است. معادلات پایداری ورق مستطیلی به کمک روش‌های حساب تغییرات به دست آمده‌اند. ورق در معرض انواع بارگذاری حرارتی قرار می‌گیرد که از جمله آن می‌توان به افزایش درجه‌ی حرارت یکنواخت و توزیع درجه‌ی حرارت خطی در ضخامت ورق اشاره کرد. در هر یک از حالات بارگذاری، یک رابطه صریح به شکل بسته برای دمای بحرانی ارائه کرده‌اند.

مطالعات نشان می‌دهد که تاکنون کمانش نامتقارن ورق‌های دایرویی هدفمند بر روی بستر الاستیک، که در لبه تحت فشار شعاعی یکنواخت و حرارت قرار داشته و خواص آن وابسته به دما باشد مورد بررسی قرار نگرفته است. در این پژوهش با استفاده از نظریه‌ی کلاسیک و فرضیه‌ی غیرخطی فون-کارمن معادله تعادل به دست آمده است. سپس با به دست آوردن شکل عمومی رابطه پایداری و محاسبه مقدار ویژه این رابطه، مقدار بار بحرانی کمانش

با در نظر گرفتن ترمومالاسیسته خطی و شرایط تنش مسطح برای ورقهای نازک، روابط تنش-کرنش برابر است با [۷، ۸]:

$$\begin{Bmatrix} \sigma_{rr} \\ \sigma_{\theta\theta} \\ \tau_{r\theta} \end{Bmatrix} = \frac{E}{1-\nu^2} \begin{Bmatrix} 1 & \nu & 0 \\ \nu & 1 & 0 \\ 0 & 0 & \frac{1-\nu}{2} \end{Bmatrix} \begin{Bmatrix} \varepsilon_{rr} \\ \varepsilon_{\theta\theta} \\ \gamma_{r\theta} \end{Bmatrix} (T - T_0) \begin{Bmatrix} \alpha \\ \alpha \\ 0 \end{Bmatrix} \quad (6)$$

که  $T$  و  $T_0$  به ترتیب بیانگر دمای اعمالی به ورق و دمای محیط می‌باشد. برآیندهای نیرو و گشتاور برابر است با [۱۱]:

$$(N_{rr} \ N_{\theta\theta} \ N_{r\theta}) = \int_{-\frac{h}{2}}^{\frac{h}{2}} z \begin{Bmatrix} \sigma_{rr} \\ \sigma_{\theta\theta} \\ \tau_{r\theta} \end{Bmatrix} dz \quad (\text{الف}) \quad (7)$$

$$(M_{rr} \ M_{\theta\theta} \ M_{r\theta}) = \int_{-\frac{h}{2}}^{\frac{h}{2}} z \begin{Bmatrix} \sigma_{rr} \\ \sigma_{\theta\theta} \\ \tau_{r\theta} \end{Bmatrix} dz \quad (\text{ب}) \quad (7)$$

با جایگزینی روابط (۶) در رابطه (۷) برآیندهای نیرو و گشتاور بر حسب تغییر مکان صفحه میانی برابر است با:

$$\begin{Bmatrix} N_{rr} \\ N_{\theta\theta} \\ N_{r\theta} \\ M_{rr} \\ M_{\theta\theta} \\ M_{r\theta} \end{Bmatrix} = \frac{1}{1-\nu} \times \begin{Bmatrix} E_1 & \nu E_1 & 0 & E_2 & \nu E_2 & 0 \\ \nu E_1 & E_1 & 0 & \nu E_2 & E_2 & 0 \\ 0 & 0 & \frac{1-\nu}{2} E_1 & 0 & 0 & \frac{1-\nu}{2} E_2 \\ E_2 & \nu E_2 & 0 & E_3 & \nu E_3 & 0 \\ \nu E_2 & E_2 & 0 & \nu E_3 & E_3 & 0 \\ 0 & 0 & \frac{1-\nu}{2} E_2 & 0 & 0 & \frac{1-\nu}{2} E_3 \end{Bmatrix} \begin{Bmatrix} u_{0,r} + \frac{1}{2} w_{0,r}^2 \\ \frac{1}{r} u_0 + \frac{1}{r} v_{0,\theta} + \frac{1}{2r^2} w_{0,\theta}^2 \\ \frac{1}{r} u_{0,\theta} + v_{0,r} - \frac{1}{r} v_0 + \frac{1}{r} w_{0,\theta} w_{0,r} \\ -w_{0,rr} \\ \frac{1}{r^2} w_{0,\theta\theta} + \frac{1}{r} w_{0,r} \\ \frac{1}{r^2} w_{0,\theta} - \frac{1}{r} w_{0,r\theta} \end{Bmatrix} - \begin{Bmatrix} N^T \\ N^T \\ 0 \\ M^T \\ M^T \\ 0 \end{Bmatrix} \quad (\text{ا})$$

آن به وجود می‌آید. ضروری است برای دقت در پیش‌بینی خواص مواد، آنها را وابسته به دما در نظر بگیریم.

طبق قانون ویت<sup>۱۳</sup> هر خاصیت مکانیکی در ورق هدفمند مانند  $p$  را می‌توان بر حسب خواص اصلی آن مطابق رابطه زیر بیان کرد [۱۸]:

$$p_{eff}(z, T) = p_m(T) + p_{cm}(T) \left( \frac{1}{2} + \frac{z}{h} \right)^k \quad (2)$$

$p_{cm}(T) = p_c(T) - p_m(T)$  که  $p_m$  و  $p_c$  به ترتیب بیانگر خواص فلز و سرامیک می‌باشد. در رابطه (۲)، خواص مکانیکی مانند مدول یانگ  $E$  و ضریب انبساط حرارتی  $\alpha$  وابسته به دما فرض شده و می‌توان با یک تابع غیرخطی از دما آن را نشان داد [۱۹].

$$p(T) = p_0(p_{-1}T^{-1} + 1 + p_1T + p_2T^2 + p_3T^3) \quad (3)$$

که  $T$  دمای اندازه‌گیری شده در مقیاس کلوین و  $p_i$  ضرایب وابستگی دمایی می‌باشد. توزیع دما به طور یکنواخت فرض شده است به طوری که ورق دایروی هدفمند در دمای اولیه  $T_0$  قرار دارد و دمای آن به طور یکنواخت و به میزان  $Afzaisch$  می‌باشد.

### ۳- معادلات حاکم

با توجه به فرضیه‌ی کلاسیک برای ورقهای نازک، میدان تغییر مکان [۸، ۷] برابر است با:

$$\begin{aligned} u(r, \theta, z) &= u_0(r, \theta) - zw_{0,r}(r, \theta) \\ v(r, \theta, z) &= v_0(r, \theta) - \frac{z}{r} w_{0,\theta}(r, \theta) \\ w(r, \theta, z) &= w_0(r, \theta) \end{aligned} \quad (4)$$

در رابطه (۴)،  $u_0$ ،  $v_0$  و  $w_0$  به ترتیب بیانگر تغییر مکان روی صفحه میانی ( $z = 0$ ) در جهت  $r$ ،  $\theta$  و  $z$  است. بر پایه فرضیه فون-کارمن در مختصات قطبی، رابطه کرنش-

تغییر مکان غیرخطی برابر است با [۷، ۸]:

$$\begin{aligned} \varepsilon_{rr} &= u_{,r} + \frac{1}{2} (w_{,r})^2 \\ \varepsilon_{\theta\theta} &= \frac{1}{r} v_{,\theta} + \frac{1}{r} u + \frac{1}{2r^2} (w_{,\theta})^2 \\ \varepsilon_{r\theta} &= \frac{1}{r} u_{,\theta} + v_{,r} - \frac{1}{r} v + \frac{1}{r} w_{,\theta} w_{,r} \end{aligned} \quad (5)$$

همچنین  $K_w$  و  $K_g$  به ترتیب بیان گر ضریب وینکلر<sup>۱۵</sup> و ضریب پسترناک<sup>۱۶</sup> بستر الاستیک می‌باشند. با جای گذاری روابط (۵) و (۷) در رابطه (۱۰) و انجام عملیات ریاضی، معادلات تعادل ورق دایروی هدفمند مطابق زیر به دست می‌آیند:

$$\begin{aligned} \delta u_0: N_{rr,r} + \frac{1}{r} N_{r\theta,\theta} + \frac{1}{r} (N_{rr} - N_{\theta\theta}) &= 0 \\ \delta v_0: N_{r\theta,r} + \frac{1}{r} N_{r\theta} + \frac{1}{r} N_{\theta\theta,\theta} &= 0 \\ \delta w_0: M_{rr,rr} + \frac{2}{r} M_{rr,r} + \frac{1}{r^2} M_{\theta\theta,\theta\theta} \\ &\quad - \frac{1}{r} M_{\theta\theta,r} + \frac{2}{r^2} M_{r\theta,\theta} + \frac{2}{r} M_{r\theta} \\ &\quad + N_{rr} w_{0,rr} \\ &\quad + N_{\theta\theta} \left( \frac{1}{r} w_{0,r} + \frac{1}{r^2} w_{0,\theta\theta} \right) \\ &\quad + 2 N_{r\theta} \left( \frac{1}{r} w_{0,r\theta} - \frac{1}{r^2} w_{0,\theta} \right) \\ &\quad + K_w w_0 \\ &\quad - K_g \left( w_{0,r} + r w_{0,rr} \right. \\ &\quad \left. + \frac{1}{r} (w_{0,\theta\theta}) \right) &= 0 \end{aligned} \quad (11)$$

**۴- تغییر مکان و برآیندهای تنش‌ها قبل از کمانش**  
در قسمت قبلی معادلات تعادل برای ورق دایروی هدفمند تحت فشار شعاعی و حرارت یکنواخت به دست آمده است. با حذف جمله‌های غیرخطی و مرتبه بالا از رابطه (۸) و بازنویسی معادله تعادل شاهد وضیعت قبل از کمانش خواهیم بود. در هر شرایط مرزی، برای ایجاد بار کمانشی باید خیز ورق قبل از کمانش صفر باشد. با حذف  $w_0^0(r, \theta) = 0$  از طرفی با توجه به بارگذاری متقارن، تغییر مکان در راستای  $\theta$  برابر صفر است ( $v_0^0(r, \theta) = 0$ ).

با حذف  $w_0$  و  $v_0$  از رابطه (۸) برآیندهای نیرو و برابر است با:

$$\begin{aligned} N_{rr} &= \frac{E_1}{1 - \nu^2} \left( u_{0,r} + \frac{\nu}{r} u_0 \right) - N^T \\ N_{\theta\theta} &= \frac{E_1}{1 - \nu^2} \left( \nu u_{0,r} + \frac{1}{r} u_0 \right) - N^T \\ N_{r\theta} &= 0 \end{aligned} \quad (12)$$

و  $M^T$  بیان گر برآیندهای نیرو و گشتاور حرارتی و ثابت‌هایی هستند که طبق روابط زیر محاسبه می‌شوند:

$$\begin{aligned} E_1 &= \int_{-\frac{h}{2}}^{\frac{h}{2}} E(z, T) dz = h \left( E_m(T) + \frac{E_{cm}(T)}{k+1} \right) \\ E_2 &= \int_{-\frac{h}{2}}^{\frac{h}{2}} z E(z, T) dz = h^2 E_{cm}(T) \left( \frac{1}{k+2} \right. \\ &\quad \left. - \frac{1}{2k+2} \right) \\ E_3 &= \int_{-\frac{h}{2}}^{\frac{h}{2}} z^2 E(z, T) dz \\ &= h^3 \left( \frac{1}{12} E_m(T) + E_{cm}(T) \times \right. \\ &\quad \left. \left( \frac{1}{k+3} - \frac{1}{k+2} + \frac{1}{4k+4} \right) \right) \end{aligned} \quad (\text{الف})$$

$$\begin{aligned} N^T &= \frac{1}{1 - \nu} \int_{-\frac{h}{2}}^{\frac{h}{2}} E(z, T) \alpha(z, T) (T \\ &\quad - T_0) dz \\ M^T &= \frac{1}{1 - \nu} \int_{-\frac{h}{2}}^{\frac{h}{2}} z E(z, T) \alpha(z, T) (T \\ &\quad - T_0) dz \end{aligned} \quad (\text{ب})$$

### ۳-۱-۳- معادلات تعادل

معادله تعادل ورق دایروی هدفمند روی یک محیط الاستیک تحت فشار شعاعی و حرارت یکنواخت، با استفاده از حالت استاتیکی اصل تغییر مکان مجازی<sup>۱۴</sup> به دست می‌آید. انرژی پتانسیل کل ورق ( $\delta V$ ) برابر است با مجموع انرژی کرنشی ورق ( $\delta U$ )، انرژی پتانسیل ناشی از بستر الاستیک ( $\delta \Omega_f$ ) و انرژی پتانسیل ناشی از فشار شعاعی یکنواخت ( $\delta \Omega_N$ ) که به لبه خارجی اعمال می‌شود:

$$\delta V = \delta U + \delta \Omega_f + \delta \Omega_N \quad (\text{الف})$$

$$\begin{aligned} \delta V &= \int_0^a \int_0^{2\pi} \int_{-\frac{h}{2}}^{\frac{h}{2}} (\sigma_{rr} \delta \varepsilon_{rr} \\ &\quad + \sigma_{\theta\theta} \delta \varepsilon_{\theta\theta} + \tau_{r\theta} \delta \gamma_{r\theta}) r dz d\theta dr \\ &\quad + \int_0^a \int_0^{2\pi} \left( K_w w_0 \delta w_0 \right. \\ &\quad \left. + K_g \left( w_{0,r} \delta w_{0,r} + \frac{1}{r^2} w_{0,\theta} \delta w_{0,\theta} \right) \right) \\ &\quad + \int_0^{2\pi} Na \delta u(a) d\theta = 0 \end{aligned} \quad (\text{ب})$$

15- Winkler constant  
16- Pasternak constant

14-Virtual Displacement Method

## ۵- معادلات پایداری

می‌توان از معیار تعادل در مجاورت برای به دست آوردن معادله پایداری استفاده کرد [۱۱، ۱۲، ۱۹]. برای این منظور تغییرمکان یک نقطه قبل از تعادل را با  $w_0, v_0, u_0$  و  $w_0^1, v_0^1, u_0^1$  مؤلفه‌ی تغییرمکان لحظه‌ای نزدیک تعادل را با نشان می‌دهند؛ بنابراین مجموع تغییرمکان در لحظه تعادل برابر است با:

$$\begin{aligned} u_0 &= u_0^0 + u_0^1 \\ v_0 &= v_0^0 + v_0^1 \\ w_0 &= w_0^0 + w_0^1 \end{aligned} \quad (۱۹\text{-الف})$$

مشابه مؤلفه‌های تغییرمکان، برآیندهای نیرو و گشتاور نیز به دو جمله قبل از کمانش و در مجاورت کمانش تقسیم می‌شوند.

$$\begin{aligned} N_{rr0} &= N_{rr0}^0 + N_{rr0}^1 \\ N_{\theta\theta0} &= N_{\theta\theta0}^0 + N_{\theta\theta0}^1 \\ N_{r\theta0} &= N_{r\theta0}^0 + N_{r\theta0}^1 \end{aligned} \quad (۱۹\text{-ب})$$

برای به دست آوردن معادله پایداری در جهت  $w$  باید نکاتی را مدنظر داشت. همان‌طور که در بخش قبل اشاره شد در لحظه قبل از کمانش، ورق مسطح و ثابت در نظر گرفته می‌شود و تغییرمکان در جهت ضخامت برابر صفر است ( $w_0^0, w_{0,r}^0, w_{0,\theta}^0 = 0$ ). از آنجایی که در نقاط همسایگی لحظه تعادل مؤلفه‌های تغییرمکان  $u_0^1, v_0^1$  و  $w_0^1$  برآیندهای نیرو  $N_{rr0}^1, N_{\theta\theta0}^1, N_{r\theta0}^1$  بسیار کوچک هستند جمله‌های شامل حاصل ضرب آنها به علت کوچکی قابل صرف نظر کردن هستند. با قرار دادن روابط (۱۹، ۱۸) در معادلات تعادل و انجام ساده سازی‌های لازم معادلات پایداری مطابق زیر به دست می‌آید:

$$\begin{aligned} N_{rr}^1 + \frac{1}{r} N_{r\theta,\theta}^1 + \frac{1}{r} (N_{rr}^1 - N_{\theta\theta}^1) &= 0 \\ N_{r\theta,r}^1 + \frac{2}{r} N_{r\theta}^1 + \frac{1}{r} N_{\theta\theta,\theta}^1 &= 0 \\ M_{rr,rr}^1 + \frac{2}{r} M_{rr,r}^1 + \frac{1}{r^2} M_{\theta\theta,\theta\theta}^1 - \frac{1}{r} M_{\theta\theta,r}^1 + \frac{2}{r^2} M_{r\theta,\theta}^1 + \frac{2}{r} M_{r\theta}^1 + N_{rr}^0 w_{0,rr}^1 + N_{\theta\theta}^0 \left( \frac{1}{r} w_{0,r}^1 + \frac{1}{r^2} w_{0,\theta\theta}^1 \right) + 2 N_{r\theta}^0 \left( \frac{1}{r} w_{0,r\theta}^1 - \frac{1}{r^2} w_{0,\theta}^1 \right) + K_w w_0^1 - K_g \left( w_{0,r}^1 + r w_{0,rr}^1 + \right. \end{aligned}$$

با قرار دادن رابطه (۱۲) در اولین معادله تعادل رابطه (۱۱)، معادله اولری بر حسب  $u$  حاصل خواهد شد. با حل معادله اولر، تغییرمکان در جهت شعاع برابر است با:

$$u_0(r, \theta) = C_1 r + \frac{C_2}{r} \quad (۱۳)$$

بنابراین برای به دست آوردن ضرایب  $C_1$  و  $C_2$ ، باید از شرایط مرزی طبیعی و هندسی در معادله تعادل در جهت شعاع استفاده شود. شرایط مرزی برابر است با:

$$\begin{aligned} N_{rr}(a) &= -N \\ u_0(0) &= finite \end{aligned} \quad (۱۴)$$

با اعمال شرط مرزی (۱۴) در رابطه (۱۳) داریم:

$$\begin{aligned} u_0(0) &= C_1 \times 0 + \frac{C_2}{0} = finite \rightarrow C_2 = 0 \\ \frac{E_1}{1-\nu} C_1 &= -N + N^T \rightarrow C_1 \\ &= \frac{1-\nu}{E_1} (-N + N^T) \end{aligned} \quad (۱۵)$$

با به دست آوردن ضرایب  $C_1$  و  $C_2$ ، تغییرمکان در راستای شعاعی به صورت زیر خواهد شد:

$$u_0(r, \theta) = \frac{1-\nu}{E_1} (-N + N^T) r \quad (۱۶)$$

در نتیجه تغییرمکان قبل از کمانش ورق در هر سه جهت برابر است با:

$$\begin{aligned} v_0^0(r, \theta) &= 0, \quad w_0^0(r, \theta) = 0 \\ u_0^0(r, \theta) &= \frac{1-\nu}{E_1} (-N + N^T) r \end{aligned} \quad (۱۷)$$

که اندیس <sup>۰</sup> بیانگر وضعیت قبل از کمانش است. تغییرمکان در راستای شعاعی ورق به بار حرارتی  $N^T$  و فشار شعاعی یکنواخت  $N$  وابسته است. اکنون با جایگذاری رابطه (۱۷) در رابطه (۱۲) برآیندهای تنفس قبل از کمانش به دست می‌آید:

$$N_{rr}^0 = N_{\theta\theta}^0 = -N, \quad N_{r\theta}^0 = 0 \quad (۱۸)$$

رابطه (۱۸) نشان می‌دهد وقتی ورق دایروی در محیط حرارتی و تحت حرارت یکنواخت باشد و لبه آن تحت فشار شعاعی یکنواخت باشد، به دلیل مقید نبودن در جهت شعاعی و داشتن تغییرمکان  $u_0(r, \theta)$ ، اثر بار حرارتی ( $N^T$ ) حذف می‌شود و فشار اعمالی به لبه‌ها باعث ایجاد کمانش مکانیکی می‌شود و در این حالت حرارت تنها بر روی خواص مواد تأثیر می‌گذارد.

$$\begin{aligned} D_k \left( w_{0,rrrr}^1 + \frac{2}{r} w_{0,rrr}^1 - \frac{1}{r^2} w_{0,rr}^1 + \frac{1}{r^3} w_{0,r}^1 \right. \\ \left. + \frac{2}{r^2} w_{0,rr\theta\theta}^1 - \frac{2}{r^3} w_{0,r\theta\theta}^1 \right. \\ \left. + \frac{4}{r^4} w_{0,\theta\theta}^1 + \frac{1}{r^4} w_{0,\theta\theta\theta\theta}^1 \right) \\ - N_{rr}^0 w_{0,rr}^1 \\ - N_{\theta\theta}^0 \left( \frac{1}{r} w_{0,r}^1 + \frac{1}{r^2} w_{0,\theta\theta}^1 \right) \\ + 2N_{r\theta}^0 \left( \frac{1}{r} w_{0,r\theta}^1 - \frac{1}{r^2} w_{0,\theta}^1 \right) \\ + K_w w_0^1 \\ - K_g \left( w_{0,r}^1 + r w_{0,rr}^1 \right. \\ \left. + \frac{1}{r} w_{0,\theta\theta}^1 \right) = 0 \end{aligned} \quad (22)$$

که  $D_k$  و  $D_0$  به ترتیب سفتی خمثی ورق هدفمند و سفتی خمثی ورق سرامیکی می‌باشد و به صورت زیر تعریف می‌شوند:

$$D_k = \frac{E_1 E_3 - E_2^2}{E_1 (1 - \nu^2)} \quad (\text{الف}) \quad (23)$$

$$D_0 = \frac{1}{12(1 - \nu^2)} h^3 E_c(T) \quad (\text{ب}) \quad (23)$$

### ۱-۵ حل معادله پایداری

در این قسمت یک حل تحلیلی برای معادله (22) ارائه می‌شود. با جایگذاری نیروهای قبل از کمانش (۱۸) در رابطه (۲۲) (۲۲) در:

$$\begin{aligned} D_k \left( w_{0,rrrr}^1 + \frac{2}{r} w_{0,rrr}^1 - \frac{1}{r^2} w_{0,rr}^1 + \frac{1}{r^3} w_{0,r}^1 \right. \\ \left. + \frac{2}{r^2} w_{0,rr\theta\theta}^1 - \frac{2}{r^3} w_{0,r\theta\theta}^1 \right. \\ \left. + \frac{4}{r^4} w_{0,\theta\theta}^1 + \frac{1}{r^4} w_{0,\theta\theta\theta\theta}^1 \right) \\ + N w_{0,rr}^1 \\ + N \left( \frac{1}{r} w_{0,r}^1 + \frac{1}{r^2} w_{0,\theta\theta}^1 \right) + K_w w_0^1 \\ - K_g \left( \frac{1}{r} w_{0,r}^1 + w_{0,rr}^1 + \frac{1}{r^2} w_{0,\theta\theta}^1 \right) \\ = 0 \end{aligned} \quad (24)$$

و با ساده سازی انجام شده، معادله نهایی برابر است با:

$$D_k \nabla^4 w_0^1 + (N - K_g) \nabla^2 w_0^1 + K_w w_0^1 = 0 \quad (\text{الف}) \quad (25)$$

$$\begin{aligned} \left\{ \left( \left( \frac{\partial}{\partial r^2} + \frac{1}{r} \frac{\partial}{\partial r} + \frac{1}{r^2} \frac{\partial}{\partial \theta^2} \right) \left( \frac{\partial}{\partial r^2} + \frac{1}{r} \frac{\partial}{\partial r} + \frac{1}{r^2} \frac{\partial}{\partial \theta^2} \right. \right. \right. \\ \left. \left. \left. + \frac{N - K_g}{D_k} \right) \right) \frac{K_w}{D_k} \right\} w_0^1(r, \theta) = 0 \end{aligned} \quad (\text{ب}) \quad (25)$$

$$\frac{1}{r} (w_{0,\theta\theta}^1) = 0 \quad (20)$$

برای به دست آوردن معادلات پایداری بر حسب مؤلفه‌ی تغییر مکان باید رابطه (۸) را در روابط پایداری (۲۰) قرار داده و جملات غیرخطی و مرتبه بالای مؤلفه‌ی تغییر مکان را حذف نماییم. معادلات به دست آمده، شامل سه رابطه پایداری است که طبق نظریه کلاسیک برای ورق دایروی هدفمند روی بستر الاستیک به صورت زیر قابل بیان است:

$$\begin{aligned} \frac{E_1}{1 - \nu^2} \left( u_{0,rr}^1 + \frac{1}{r} u_{0,r}^1 - \frac{1}{r^2} u_0^1 - \frac{1}{r^2} v_{0,\theta}^1 + \frac{\nu}{r} v_{0,r\theta}^1 \right) \\ + \frac{E_1}{2(1 + \nu)} \left( \frac{1}{r^2} u_{0,\theta\theta}^1 + \frac{1}{r} v_{0,r\theta}^1 - \frac{1}{r^2} v_{0,\theta}^1 \right) \\ - \frac{E_2}{1 - \nu^2} \left( w_{0,rrr}^1 - \frac{1}{r^2} w_{0,r}^1 + \frac{1}{r} w_{0,rr}^1 - \frac{2}{r^3} w_{0,\theta\theta}^1 \right. \\ \left. + \frac{1}{r^2} w_{0,\theta\theta\theta}^1 \right) = 0 \end{aligned} \quad (\text{الف}) \quad (21)$$

$$\begin{aligned} \frac{E_1}{1 - \nu^2} \left( \frac{1}{r} u_{0,r\theta}^1 + \frac{1}{r^2} (u_{0,\theta}^1 + v_{0,\theta\theta}^1) \right) \\ + \frac{E_1}{1 - \nu^2} \left( \frac{1 - \nu}{2} \left( -\frac{1}{r} u_{0,r\theta}^1 + \frac{1}{r^2} u_{0,\theta}^1 + v_{0,rr}^1 + \frac{1}{r} v_{0,r}^1 \right. \right. \\ \left. \left. - \frac{1}{r^2} v_0^1 \right) \right) \\ - \frac{E_2}{1 - \nu^2} \left( \frac{1}{r} w_{0,rr\theta}^1 + \frac{1}{r} w_{0,rr}^1 - \frac{2}{r^3} w_{0,\theta\theta}^1 \right. \\ \left. + \frac{1}{r^2} (w_{0,r\theta}^1 + \frac{1}{r} w_{0,\theta\theta\theta}^1) \right) = 0 \end{aligned} \quad (\text{ب}) \quad (21)$$

$$\begin{aligned} \frac{E_2}{1 - \nu^2} \left( u_{0,rrr}^1 + \frac{2}{r} u_{0,rr}^1 - \frac{1}{r^2} u_{0,r}^1 - \frac{1}{r^3} u_0^1 + \frac{1}{r^3} u_{0,\theta\theta}^1 \right. \\ \left. + \frac{1}{r^2} u_{0,r\theta\theta}^1 - \frac{1}{r^2} v_{0,r\theta}^1 + \frac{1}{r^3} v_{0,\theta}^1 + \frac{1}{r^3} v_{0,\theta\theta\theta}^1 \right. \\ \left. + \frac{1}{r} v_{0,rr\theta}^1 \right) \\ - \frac{E_3}{1 - \nu^2} \left( w_{0,rrrr}^1 + \frac{2}{r} w_{0,rrr}^1 - \frac{1}{r^2} w_{0,rr}^1 + \frac{1}{r^3} w_{0,r}^1 \right. \\ \left. + \frac{2}{r^2} w_{0,r\theta\theta}^1 - \frac{2}{r^3} w_{0,r\theta}^1 + \frac{4}{r^4} w_{0,\theta\theta}^1 + \frac{1}{r^4} w_{0,\theta\theta\theta\theta}^1 \right. \\ \left. + N_{rr}^0 w_{0,rr}^1 + N_{\theta\theta}^0 \left( \frac{1}{r} w_{0,r}^1 + \frac{1}{r^2} w_{0,\theta\theta}^1 \right) \right. \\ \left. + 2N_{r\theta}^0 \left( \frac{1}{r} w_{0,r\theta}^1 - \frac{1}{r^2} w_{0,\theta}^1 \right) + K_w w_0^1 \right. \\ \left. - K_g \left( w_{0,r}^1 + \frac{1}{r} w_{0,rr}^1 + \frac{1}{r^2} w_{0,\theta\theta}^1 \right) = 0 \right) \end{aligned} \quad (\text{ج}) \quad (21)$$

با مشتق گیری از روابط (۲۱-الف) و (۲۱-ب) بترتیب نسبت به  $r$  و  $\theta$  و سپس ضرب مجموع دو عبارت حاصله در ترم  $\frac{-E_2}{rE_1(1-\nu^2)}$ ، رابطه (\*) (موجود در پیوست) حاصل خواهد شد. با جمع روابط (۲۱-ج) و (\*) معادله نهایی بر حسب تغییر مکان عرضی  $w_0^1$  بصورت زیر حاصل می‌شود:

نتیجه آن به یک معادله غیرخطی بر حسب  $n^p$  می‌رسیم. با محاسبه ریشه مثبت معادله حاصل بازای  $n$  های مختلف و انتخاب کمترین مقدار آن بار بحرانی کمانش  $n_{cr}^p$  به دست می‌آید.

برای به دست آوردن بار بحرانی کمانش، با قراردادن رابطه (۲۳-ب) در رابطه بی‌بعد (۲۶)، رابطه نهایی بار بحرانی کمانش ورق دایروی برابر است با:

$$N_{cr} = \frac{h}{12(1-\nu^2)} E_c(T) \delta^2 n_{cr}^p \quad (۲۳)$$

## ۶- بررسی نتایج

برای نشان دادن درستی روش مورد مطالعه در این مقاله، مقدار پارامتر بی‌بعد بار بحرانی کمانش<sup>۱۸</sup> ( $\sqrt{n_{cr}}$ ) ورق همگن ایزوتروپیک با مقدار آن در مرجع [۲۰] مقایسه شده است. در جدول (۱) مقدار پارامتر بی‌بعد بار بحرانی کمانش برای شرایط مرزی گیردار نشان داده شده است. با توجه به جدول (۱) مشاهده می‌شود بین نتایج به دست آمده از کار حاضر و مطالعات گزارش شده توسط وانگ و همکاران [۲۰] توافق خوبی وجود دارد.

برای به دست آوردن نتایج در کار حاضر از ماده ترکیبی فولاد ضدزنگ<sup>۱۹</sup> و نیترید سیلیکون<sup>۲۰</sup> استفاده شده است. به منظور مدل کردن تأثیر خواص مواد هدفمند، خواص باید وابسته به دما باشد. نسبت پواسون ثابت و برابر ۰/۳ است. خصوصیات ماده مورد استفاده در جدول (۲) آمده است[۱۶].

جدول (۱) مقایسه پارامتر بی‌بعد بحرانی کمانش ورق همگن ایزوتروپیک با مرجع [۲۰]

$k_w$			شرط	مرجع
	۱۲۹۶	۲۵۶	مرزی	
۱۱/۷۶۸	۸/۹۶۸	۶/۳۷۳	[۲۰]	گیردار
۱۱/۷۶۸	۸/۹۶۸	۶/۳۷۳	نتایج	
			حاضر	

16- Non-Dimensional critical buckling parameter

17- Stainless Steel

18- Silicon Nitride

برای حل مسئله، بی‌بعد سازی‌های زیر انجام می‌شود:

$$\bar{r} = \frac{r}{a}, \quad \delta = \frac{h}{a}, \quad k_g = \frac{K_g a^2}{D_0} \\ k_w = \frac{K_w a^4}{D_0}, \quad d = \frac{D_k}{D_0}, \quad n^p = \frac{Na^2}{D_0} \quad (۲۶)$$

با توجه به اینکه بارگذاری متقارن است ولی ممکن است مدهای کمانش نامتقارن باشد [۱۹، ۱۸، ۹] شکل

$$w(\bar{r}, \theta) = w_n(\bar{r}) \cos n\theta \quad (۲۷)$$

که  $n$  بیانگر شماره مد کمانش است. به ازای  $n = 0$  کمانش متقارن و برای  $n > 0$  کمانش نامتقارن است. حال با قرار دادن رابطه (۲۷) در رابطه (۲۵) و استفاده از پارامترهای بی‌بعد رابطه (۲۶)، معادله دیفرانسیل معمولی زیر به دست می‌آید:

$$\left( \frac{d}{d\bar{r}^2} + \frac{1}{r} \frac{d}{d\bar{r}} - \frac{n^2}{\bar{r}^2} + k_1^2 \right) \left( \frac{d}{d\bar{r}^2} + \frac{1}{r} \frac{d}{d\bar{r}} - \frac{n^2}{\bar{r}^2} + k_2^2 \right) w_n(\bar{r}) = 0 \quad (۲۸)$$

با حل معادله دیفرانسیل معمولی رابطه (۲۸)، تغییر مکان در راستای ضخامت یا همان خیز ورق در لحظه کمانش برابر است با:

$$w_n(\bar{r}) = C_{1n} J_n(k_1 \bar{r}) + C_{2n} J_n(k_2 \bar{r}) \quad (۲۹)$$

که مقادیر  $k_1$  و  $k_2$  برابر است با:

$$k_{1,2} = \sqrt{\frac{n^p - k_g \pm \sqrt{(n^p - k_g)^2 - 4dk_w}}{2d}} \quad (۳۰)$$

در این مقاله به بررسی کمانش ورق‌های دایروی هدفمند که در شرایط مرزی گیردار قرار دارند پرداخته شده است.

شرایط مرزی گیردار:

$$w_n(\bar{r}) = 0, \quad \frac{\partial w_n(\bar{r})}{\partial \bar{r}} = 0 \quad (۳۱)$$

با قرار دادن شرایط مرزی (۳۱) در معادله خیز، ضرایب رابطه (۲۹) و در نتیجه  $w_n(\bar{r})$  برابر صفر می‌شود که جواب بدیهی مسئله است. برای به دست آوردن جواب غیربدیهی، باید دترمینان ماتریس ضرایب را برابر صفر قرار دهیم که در

17- Asymmetric Buckling

آن با مقدار متقارن کمانش در جدول (۴) نشان داده شده است. شاخص تابع توانی برابر با  $k = 1$  و ورق تحت فشار شعاعی یکنواخت و حرارت یکنواخت فرض می‌شود (دما ۴۰۰ کلوین). همان‌طور که مشاهده می‌شود تحلیل نامتقارن کمانش مقدار کمتر و دقیق‌تری را نسبت به حل متقارن کمانش پیش‌بینی می‌کند. زمانی که ضریب بستر وینکلر ( $k_w$ ) زیاد می‌شود، میزان اختلاف نیز افزایش می‌یابد. همچنین با افزایش ضریب بستر پسترناك ( $k_g$ ) میزان اختلاف کاهش می‌یابد.

در شکل (۱) تأثیر دما بر بحرانی کمانش ورق دایروی هدفمند با  $\delta = 0.15$  تحت فشار شعاعی و حرارت یکنواخت در شرایط مرزی گیردار بدون بستر الاستیک نشان داده شده است. با افزایش دما به علت کاهش مدول یانگ، بار بحرانی کمانش کاهش می‌یابد. دلیل این امر تأثیر دما بر خواص مواد هدفمند است.

جدول (۲) ضرایب وابسته به دما برای دو ماده فولاد ضدزنگ و نیترید سیلیکون.

$p_3$	$p_2$	$p_1$	$p_0$	$p_{-1}$	خاصیت مکانیکی	ماده
.	.	$8/08 \times 10^{-4}$	$12/33 \times 10^{-6}$	.	$\alpha(K^{-1})$	SUS304
.	$-6/53 \times 10^{-7}$	$3/079 \times 10^{-4}$	$20/104 \times 10^{-9}$	.	$E(Pa)$	
.	.	$9/095 \times 10^{-4}$	$5/87 \times 10^{-6}$	.	$\alpha(K^{-1})$	$Si_3N_4$
$-8/94 \times 10^{-11}$	$2/16 \times 10^{-7}$	$-3/07 \times 10^{-4}$	$348/43 \times 10^{-9}$	.	$E(Pa)$	

جدول (۳) بررسی اثر ضرایب بستر الاستیک و  $\delta$  بر بار بحرانی کمانش (MN/m) ورق دایروی هدفمند تحت فشار شعاعی یکنواخت به ازای دماهای مختلف

$(k_w, k_g)$					$\delta$	
(۶۰۰, ۲۰)	(۶۰۰۰)	(۲۰۰, ۲۰)	(۰, ۲۰)	(۰, ۰)		
۱/۷۶۴۴(۲)	۱/۲۷۵۶(۲)	۱/۲۸۲۷(۱)	۰/۷۷۹۲(۰)	۰/۲۹۰۴(۰)	$T=300$	
۱/۶۵۷۵(۲)	۱/۱۹۵۵(۲)	۱/۲۰۵۹(۱)	۰/۷۳۲۹(۰)	۰/۲۷۹۳(۰)	$T=600$	۰/۰۱
۱/۵۱۹۶(۲)	۱/۰۷۹۱(۲)	۱/۱۱۰۹(۱)	۰/۶۷۷۵(۰)	۰/۲۳۷۰(۰)	$T=900$	
۱۴/۱۱۱۵(۲)	۱۰/۲۰۵(۲)	۱۰/۲۶۲(۱)	۶/۲۲۴(۰)	۲/۳۲۳۶(۰)	$T=300$	
۱۳/۲۶۰(۲)	۹/۵۶۴(۲)	۹/۶۴۷(۱)	۵/۸۶۲(۰)	۲/۱۶۷۶(۰)	$T=600$	۰/۰۲
۱۲/۱۵۶(۲)	۸/۶۳۲(۲)	۸/۸۸۷(۱)	۵/۴۱۹۹(۰)	۱/۸۹۶۲(۰)	$T=900$	
۴۷/۶۳۸(۲)	۳۴/۴۴۱(۲)	۳۴/۶۳۴(۱)	۲۱/۰۳۹(۰)	۷/۸۴۲(۰)	$T=300$	
۴۴/۷۵۳(۲)	۳۲/۲۷۹(۲)	۳۲/۵۶۰(۱)	۱۹/۷۸۹(۰)	۷/۳۱۵(۰)	$T=600$	۰/۰۳
۴۱/۰۲۸(۲)	۲۹/۱۳۶(۲)	۲۹/۹۹۴(۱)	۱۸/۲۹۲(۰)	۶/۴۰۰(۰)	$T=900$	

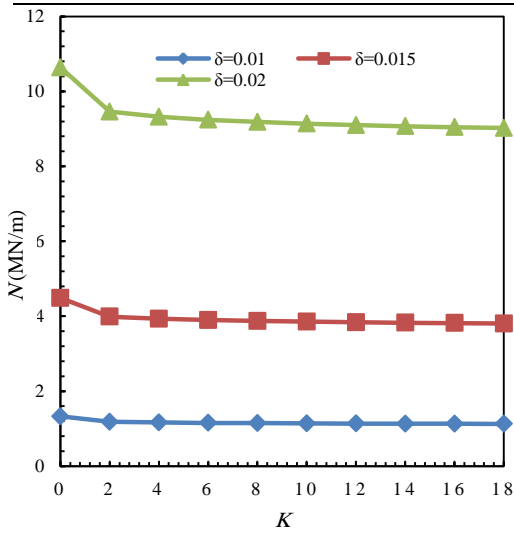
در جدول (۳) بار بحرانی کمانش ورق دایروی هدفمند ( $N_{cr}$ ) روی بستر الاستیک و بدون بستر الاستیک (ضرایب بستر الاستیک برابر صفر در نظر گرفته شده است) و در دماهای مختلف به ازای شاخص تابع توانی  $k = 1$  نشان داده شده است. همان‌طور که مشاهده می‌شود افزایش ضرایب بستر الاستیک وینکلر و پسترناك ( $k_w, k_g$ ) باعث تغییر افزایش بار بحرانی کمانش ( $N_{cr}$ ) می‌شود. همچنین تغییر ضریب بستر وینکلر ( $k_w$ )، می‌تواند شماره مدد کمانش را تغییر دهد ولی تغییر ضریب بستر پسترناك ( $k_g$ )، تأثیری بر شماره مدد کمانش ندارد. برای مثال ورق با نسبت ضخامت به شاعع  $0.02$ ، بستر وینکلر  $= 200$  باعث افزایش مدد کمانش از  $0$  به  $1$  می‌شود. همچنین با افزایش دما، مقدار بار بحرانی کمانش کاهش می‌یابد. (\* عدد داخل پرانتز شماره مدد کمانش است).

اهمیت محاسبه تغییر مکان نامتقارن در کمانش و مقایسه

جدول (۲) ضرایب وابسته به دما برای دو ماده فولاد ضدزنگ و نیترید سیلیکون.

جدول (۴) بار بحرانی کمانش (MN/m) ورق دایروی هدفمند ( $k = 1$ ) تحت شرایط مرزی گیردار بر روی بستر الاستیک در حالت متقارن ( $n=0$ ) و نامتقارن

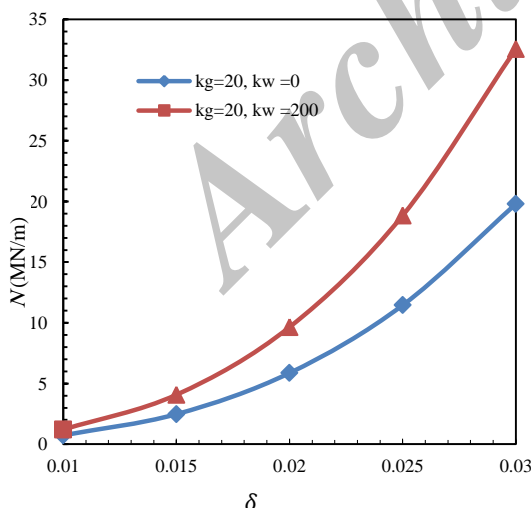
$(k_w, k_g)$				$\delta$
$(20, 300)$	$(300, 0)$	$(200, 20)$	$(0, 200)$	متقارن
۲۲/۸۶۳	۱۵/۳۸۲	۲۰/۴۵۱	۱۲/۹۷۰	نامتقارن
۲۱/۶۵۵	۱۴/۱۷۴	۱۹/۶۵۶	۱۲/۱۷۵	
۵/۵۸	۸/۵۲	۴/۰۴	۶/۵۳	درصد اختلاف



شکل (۲) تأثیر شاخص تابع توانی ( $k$ ) بر بار بحرانی کمانش ورق دایروی، بر روی بستر الاستیک ( $k_g, k_w = (20, 200)$ ) و تحت شرایط مرزی گیردار.

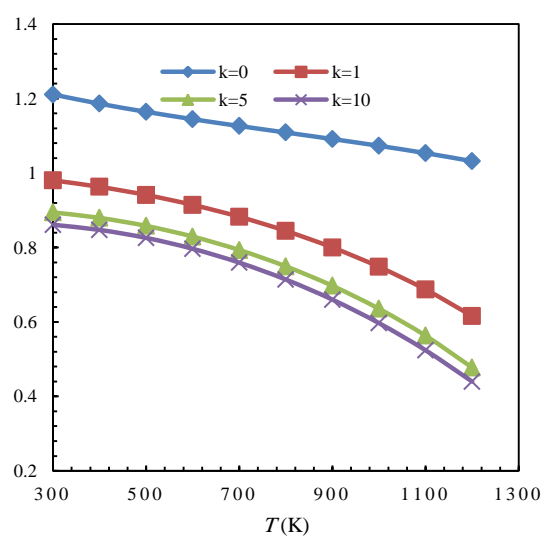
در شکل (۲) تأثیر شاخص تابع توانی ( $k$ ) بر بار بحرانی کمانش ورق دایروی هدفمند تحت فشار شعاعی یکنواخت و حرارت یکنواخت، بر روی بستر الاستیک  $(k_g, k_w = (20, 200))$  و در دمای (۶۰۰ کلوین) نشان داده شده است. با افزایش شاخص تابع توانی ( $k$ ) به دلیل تغییر خواص از سرامیک به فلز و کاهش مدول الاستیستی، بار بحرانی کاهش پیدا می‌کند. برای حالت  $k \leq 20$  کاهش بار بحرانی شدید و برای  $k \geq 20$  کاهش بار بحرانی کمانش با روند کندری همراه است.

در شکل (۳) تأثیر نسبت ضخامت به شعاع ( $\delta$ ) به ازای ضرایب بستر الاستیک مختلف  $(k_g, k_w)$  نشان داده شده است (۶۰۰ کلوین). همان‌طور که مشاهده می‌شود افزایش  $\delta$  باعث افزایش بار بحرانی کمانش می‌شود. افزایش ضرایب بستر الاستیک باعث افزایش بار بحرانی کمانش می‌شود.



شکل (۳) تأثیر  $\delta$  بر بار بحرانی کمانش ورق دایروی هدفمند به ازای ضرایب بستر الاستیک مختلف.

در شکل (۴) تأثیر نسبت ضخامت به شعاع  $\delta$  به ازای ضرایب بستر الاستیک وینکلر  $k_w = 200$  و ضرایب بستر پسترناک  $k_g = 20$  نشان داده شده است و دما (۶۰۰ کلوین).



شکل (۱) تأثیر دما بر بار بحرانی کمانش ورق FGM، فاقد بستر الاستیک و تحت شرایط مرزی گیردار.

۲- با توجه به اینکه بارگذاری متقارن است ولی ممکن است مدهای کمانش نامتقارن باشد. حل متقارن معادله پایداری بار بحرانی کمانش را بیشتر از مقدار واقعی پیش‌بینی می‌کند. در حل نامتقارن اثر تغییر مکان در راستای  $\theta$  حذف نمی‌شود و خیز ورق وابسته به دو پارامتر  $r$  و  $\theta$  می‌باشد.

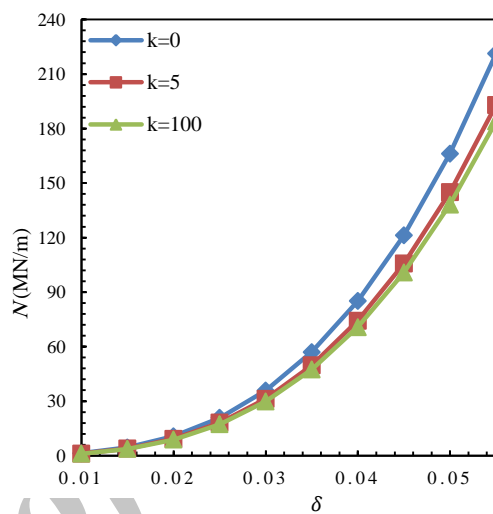
۳- با افزایش ضریب بستر الاستیک، بار بحرانی کمانش افزایش می‌یابد. تغییر ضریب بستر وینکلر می‌تواند بر شماره مدهای کمانش تأثیرگذار باشد در حالی که ضریب بستر پسربنناک تأثیری روی شماره‌ی مد کمانش ندارد.

۴- هنگامی که خواص به صورت تابعی از دما در نظر گرفته شوند، رفتار دقیق‌تر مواد توجیه می‌شود. با توجه به اینکه خواص مواد وابسته به دما می‌باشد، افزایش دما باعث کاهش مدول یانگ و سفتی ماده هدفمند و در نتیجه کاهش بار بحرانی کمانش می‌شود.

#### ۸- فهرست عالانه

$D_k$	سختی خمشی ورق
$E$	مدول یانگ
$k$	شاخص تابع توانی
$K_w$	ضریب وینکلر
$K_w$	ضریب پسربنناک
$M_{rr}$	برآیند گشتاور شعاعی
$M_{\theta\theta}$	برآیند گشتاور دورانی
$M_{r\theta}$	برآیند گشتاور برشی
$N_{rr}$	برآیند نیرو شعاعی
$N_{\theta\theta}$	برآیند نیرو دورانی
$N_{r\theta}$	برآیندها نیرو برشی
$u_0$	تغییر مکان شعاعی
$V_c$	کسر حجمی سرامیک
$V_m$	کسر حجمی فلز
$v_0$	تغییر مکان دورانی
$w_0$	تغییر مکان عرضی
$\delta$	نسبت ضخامت به شعاع
$\epsilon$	کرنش نرمال

می‌باشد. همان‌طور که مشاهده می‌شود با افزایش شاخص تابع توانی و تغییر کسر حجمی ماده هدفمند از سرامیک به فلز و با ازدیاد ضخامت (نسبت ضخامت به شعاع) بار بحرانی کمانش با شبیه‌بیشتری کاهش می‌یابد. همچنین افزایش نسبت ضخامت به شعاع ( $\delta$ ) باعث افزایش بار بحرانی کمانش می‌شود.



شکل (۴) تأثیر  $\delta$  بر بار بحرانی کمانش ورق دایروی هدفمند به ازای شاخص تابع توانی ( $k$ ) مختلف

#### ۷- نتیجه‌گیری

با تعیین تأثیر ضخامت، شعاع، ضریب تابع توانی، ضرایب بستر الاستیک و اثر دما بر خواص، یک راه حل تحلیلی برای محاسبه بار بحرانی کمانش ارائه شده است. در این تحقیق برای محاسبه معادلات تعادل و پایداری از تئوری کلاسیک استفاده شده است. همچنین خواص مواد طبق رابطه تابع توانی تغییر می‌کند و وابسته به ضخامت و دما است. ورق در محیط حرارتی قرار دارد و لبه‌ی آن تحت فشار شعاعی یکنواخت می‌باشد. با محاسبه مقدار ویژه‌ی معادلات پایداری و حل دقیق آن بار بحرانی کمانش به دست آمده است. برخی نتایج حاصل از کار حاضر به شرح زیر می‌باشد:

۱- اگر ورق در محیط حرارتی و لبه‌ی آن تحت فشار شعاعی یکنواخت باشد به علت آزاد بودن تغییر مکان در راستای شعاع ( $r, \theta$ )، اثر بار حرارتی ( $N^T$ ) حذف می‌شود و فقط کمانش مکانیکی رخ می‌دهد و حرارت تنها بر خواص مواد تأثیر می‌گذارد.

- [9] Wang C. Y., "On the buckling of a circular plate on an elastic foundation" *Journal of applied mechanics*, Vol. 72, No. 5, 2005, pp. 795-796.
- [10] Shariat B. S., and Eslami M. R., "Buckling of thick functionally graded plates under mechanical and thermal loads" *Composite Structures*, Vol. 78, No. 3, 2007, pp. 433-439.
- [11] Najafizadeh M. M., and Eslami M. R., "Buckling analysis of circular plates of functionally graded materials under uniform radial compression" *International Journal of Mechanical Sciences*, Vol. 44, No. 12, 2002, pp. 2479-2493.
- [12] Najafizadeh M. M., and Eslami M. R., "First-order-theory-based thermoelastic stability of functionally graded material circular plates" *American Institute of Aeronautics and Astronautics*, Vol. 40, No. 7, 2002, pp. 1444-1450.
- [13] Shariat B. S., Javaheri R., and Eslami M. R., "Buckling of imperfect functionally graded plates under in-plane compressive loading." *Thin-walled structures*, Vol. 43, no. 7, 2005, pp. 1020-1036.
- [14] Matsunaga, Hiroyuki. "Thermal buckling of functionally graded plates according to a 2D higher-order deformation theory." *Composite Structures*, Vol. 90, no. 1, 2009, pp. 76-86.
- [15] Klosner J. M., "Buckling of simply supported plates under arbitrary symmetrical temperature distributions". *Journal of the Aerospace Sciences*, Vol. 25, 1958, pp. 181-184.
- [16] Ghiasian S. E., et al, "Thermal buckling of shear deformable temperature dependent circular/annular FGM plates" *International Journal of Mechanical Sciences*, Vol. 81, 2014, pp. 137-148.
- [17] Javaheri R., and Eslami M. R., "Thermal buckling of functionally graded plates" *American Institute of Aeronautics and Astronautics*, Vol. 40, No. 1, 2002, pp. 162-169.
- [18] Reddy J. N., and Chin C. D., "Thermomechanical analysis of functionally graded cylinders and plates" *Journal of Thermal Stresses*, Vol. 21, No. 6, 1998, pp. 593-626.
- [19] Saidi A. R., and Hasani Baferani A., "Thermal buckling analysis of moderately thick functionally graded annular sector plates" *Composite Structures*, Vol. 92, No. 7, 2010, pp. 1744-1752.
- [20] Yu L. H., and Wang C. Y., "Buckling mosaic of a circular plate on a partial elastic foundation" *Structural Engineering and Mechanics*, Vol. 34, No. 1, 2010, pp. 135-138.

 $\gamma$  $\sigma$  $\tau$ 

کنش برشی

تنش نرمال

تنش برشی

## - پیوست

$$\frac{E_2}{1-\nu^2} \left( u_{0,rrr}^1 + \frac{2}{r} u_{0,rr}^1 - \frac{2}{r^2} u_{0,r}^1 - \frac{1}{r^3} u_0^1 + \frac{1}{r^3} u_{0,\theta\theta\theta}^1 \right. \\ \left. + \frac{1}{r^2} u_{0,r\theta\theta}^1 - \frac{2}{r^2} v_{0,r\theta}^1 + \frac{1}{r^3} v_{0,\theta}^1 + \frac{1}{r^3} v_{0,\theta\theta\theta}^1 \right. \\ \left. + \frac{1}{r} v_{0,rr\theta}^1 \right) \\ - \frac{E_2^2}{E_1(1-\nu^2)} \left( w_{0,rrrr}^1 + \frac{2}{r} w_{0,rrr}^1 - \frac{1}{r^2} w_{0,rr}^1 + \frac{1}{r^3} w_{0,r}^1 \right. \\ \left. + \frac{2}{r^2} w_{0,rr\theta\theta}^1 - \frac{2}{r^3} w_{0,r\theta\theta}^1 + \frac{4}{r^4} w_{0,\theta\theta}^1 \right. \\ \left. + \frac{1}{r^4} w_{0,\theta\theta\theta\theta}^1 \right) = 0 \\ (*)$$

## - مراجع

- [1] Fukui Y., "Fundamental investigation of functionally gradient material manufacturing system using centrifugal force" *JSME International Journal, Ser. 3, Vibration, Control Engineering, engineering for industry*, Vol. 34, No. 1, 1991, pp. 144-148.
- [2] Bryan G. H., "On the stability of a plane plate under thrusts in its own plane, with applications to the "buckling" of the sides of a ship" *Proceedings of the London Mathematical Society*, Vol. 1, No. 1, 1890, pp. 54-67.
- [3] Timoshenko, Stephen P., and James M., "Theory of elastic stability" *McGrawHill-Kogakusha Ltd, Tokyo*, 1961.
- [4] Almroth B. O., and Brush D. O., "Buckling of bars, plates and shells" *Mc Graw-Hill, New York* 48, 1975.
- [5] Yamaki N., "Buckling of a thin annular plate under uniform compression" *Journal of Applied Mechanics*, Vol. 25, No. 3, 1958, pp. 267-273.
- [6] Reddy J. N., and Khdeir A., "Buckling and vibration of laminated composite plates using various plate theories" *American Institute of Aeronautics and Astronautics* Vol. 27, No. 12, 1989, pp. 1808-1817.
- [7] Najafizadeh M. M., and Heydari H. R., "An exact solution for buckling of functionally graded circular plates based on higher order shear deformation plate theory under uniform radial compression" *International Journal of Mechanical Sciences*, Vol. 50, No. 3, 2008, pp. 603-612.
- [8] Najafizadeh M. M., and Heydari H. R., "Thermal buckling of functionally graded circular plates based on higher order shear deformation plate theory" *European Journal of Mechanics-A/Solids*, Vol. 23, No. 6, 2004, pp. 1085-1100.

Archive of SID